

Nowoczesne technologie materiałowe stosowane w przemyśle lotniczym

Modern material technologies in aerospace industry

Materiały inteligentne - oraz bazujące na nich systemy zespolone (ang. smart embedded systems) do zastosowania w lotnictwie

Smart embedded systems based on intelligent materials

Instytut Podstawowych Problemów Techniki Polskiej Akademii Nauk, Instytut Maszyn Przepływowych Polskiej Akademii Nauk
Instytut Techniczny Wojsk Lotniczych, Instytut Lotnictwa w Warszawie, Politechnika Rzeszowska, Politechnika Lubelska, Politechnika Warszawska

Wyniki badań Results

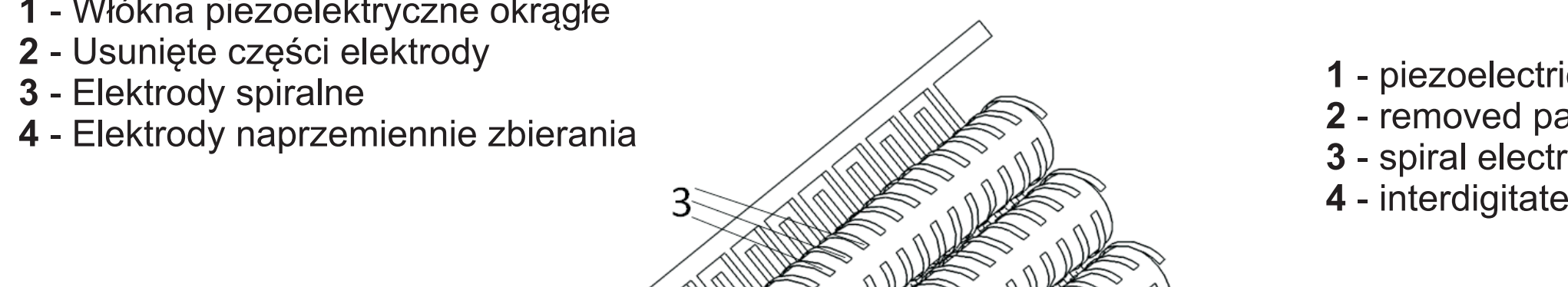
Opracowanie technologii wytwarzania materiałów kompozytowych bazujących na piezo-włóknach

Development of technology for production of composite materials based on piezo-fibers

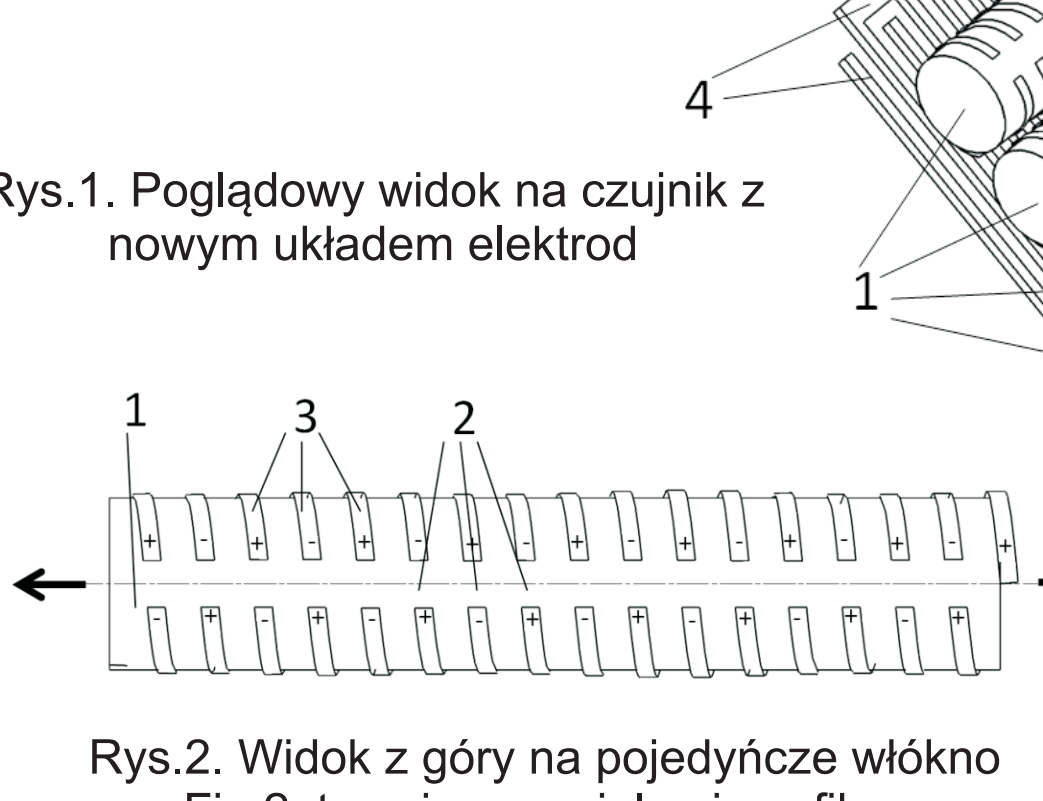
Nowy rodzaj czujnika piezoelektrycznego New design of piezoelectric sensor

Nowy rodzaj elektrod na piezo włóknach, pozwala na szybkie i nanieśnie warstwy elektrod z zachowaniem powtarzalności odstępów między elektrodami repeatability electrode spacing between the electrodes opposite signs

- 1 - Włókna piezoelektryczne okrągłe
- 2 - Usunięte części elektrody
- 3 - Elektrody spiralne
- 4 - Elektrody naprawcze zbiorników



Rys. 1. Schematic view of the sensor with a new design of electrodes



Rys. 2. top view on single piezo fiber

Zgłoszenie w Urzędzie Patentowym RP pod numerem: P.409809
The application in the Patent Office under number:

Rys. 3. Widok z dołu na pojedyncze włókno z fragmentami elektrody zbiorników

Rys. 3. top view on single piezo fiber with part of collecting electrodes

Cechy elektrod spiralnych i sposób ich wykonania Spiral electrodes description and manufacturing

- elektrody wykonywane w prostych i niewymagających kosztowej aparatury operacjach
- nie wymagane precyzyjne i kosztowne maski
- powtarzalność odstępów między elektrodami

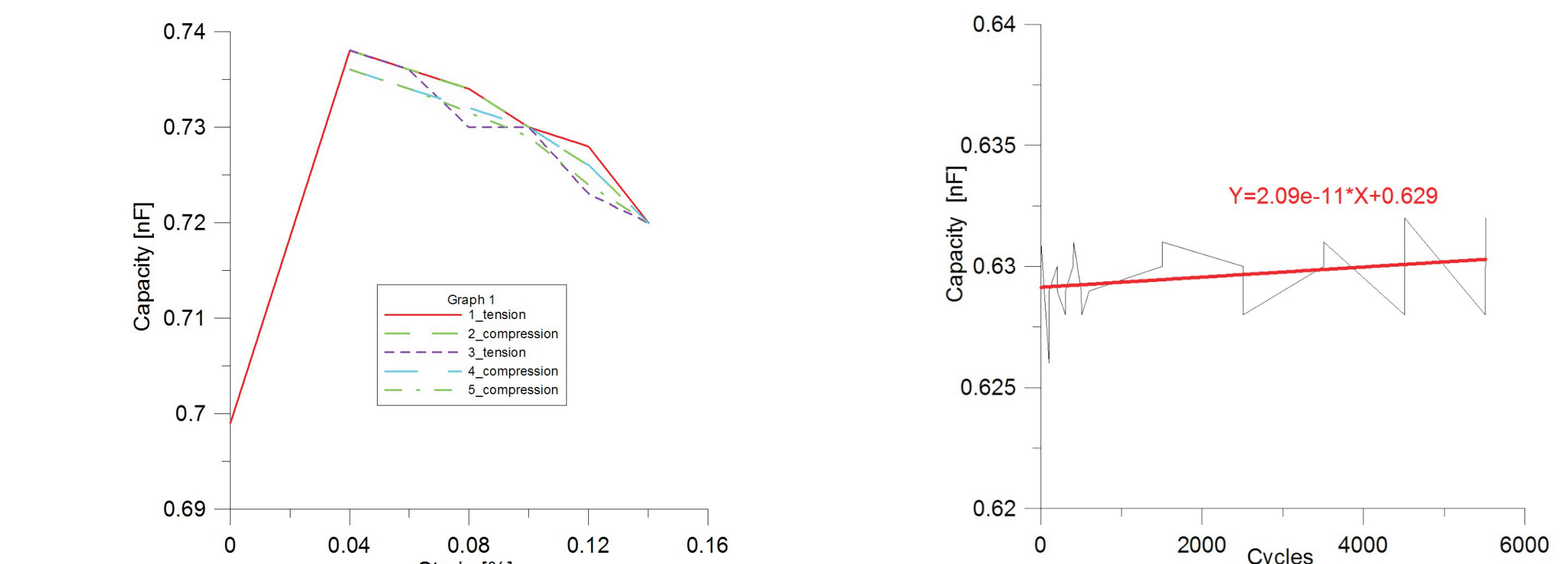
Manufacturing

- na piezowłókno pokryte w całości materiałem z jakiego będą wykonane elektrody
- zarys linii śrubowej naniesiony farbą na tokarce z posuwem liniowym
- nie pomalowana część elektrody poddana trawieniu, w następnej operacji trawienia usuwane fragment linii śrubowej, aby powstawały niepołączone ze sobą elektrody przeciwnych znaków
- elektrody zbiornicze wykonane z metalu naniesionego na podkład polimidowy
- elektrody zbiornicze łączone z włóknami za pomocą mikrogrzewarki

Podsumowanie Summary

- konieczność dokładnego przebadania fizycznych modeli czujnika
- nowa konstrukcja pozwala na budowę tańszych czujników, bez naruszenia obowiązujących praw patentowych

Dekrekcja uszkodzenia czujnika piezo Piezo sensor failure detection

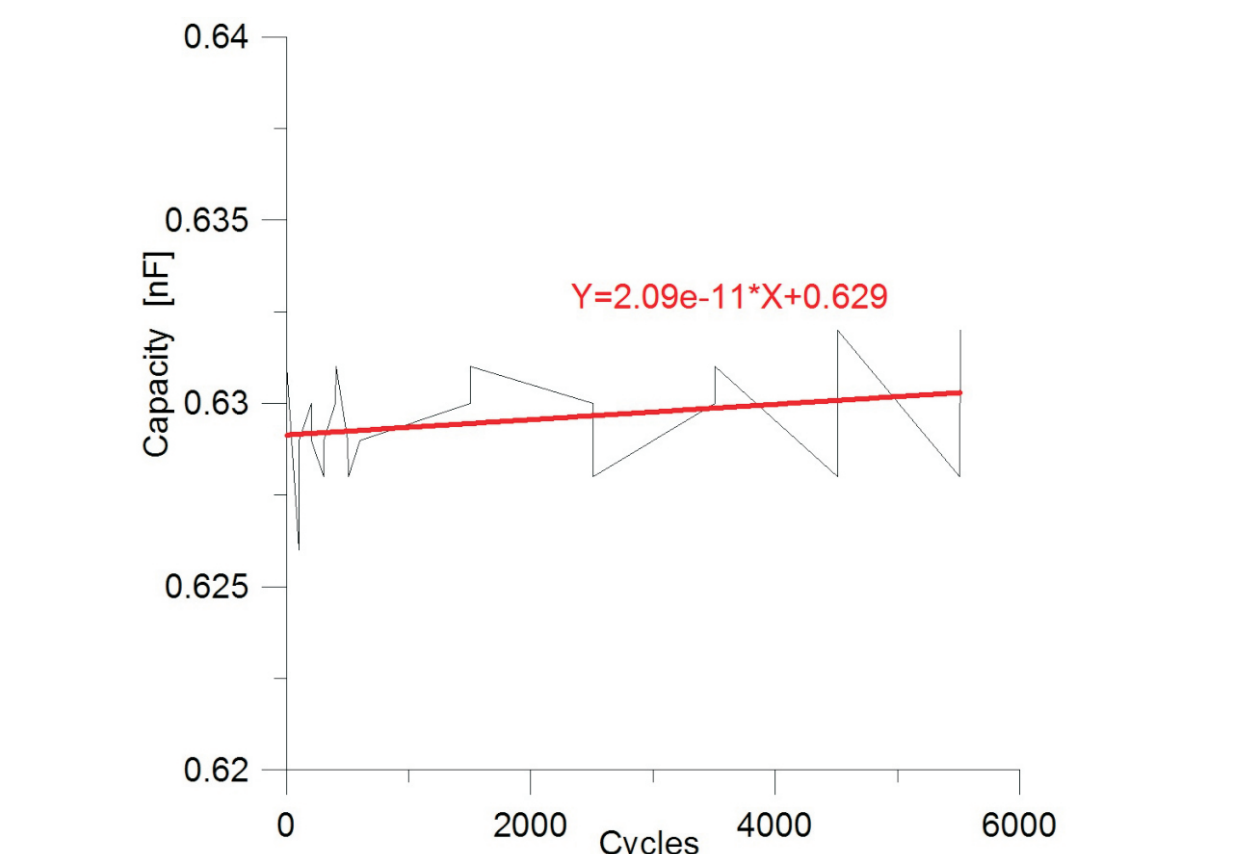


Rys. 4. Wartość pojemności w zależności od odkształceń

Fig. 4. Capacity - strain relationship

• Zależność pojemności piezozuwnika od stanu obciążenia

• The dependence of the piezo sensor capacity of the load



Rys. 5. Pojemność w zależności od ilości cykli

Fig. 5. Capacity in LCF testing

Wnioski Conclusions

- metoda może być używana do detekcji uszkodzeń czujnika
- metoda nie jest rozstrzygająca jeśli pomiary są przeprowadzane przy niejednakowych wartościach odkształceń
- trudności z porównaniem wyników dla różnych stanów obciążenia
- wymagana dokładna aparatura pomiarowa do pomiarów pojemności

Przykłady zastosowania w lotnictwie Examples of application in aviation

Czujnik odkształceń poszycia.

Strain sensor.
Aktywny tłumik drgań.

Wskaźniki realizacji celów projektu Indicators of the project

Prace mgr, dr, hab. Prace doktorskie

- Michał Kalkowski, "Delamination in structural composite waveguides" Promotor: Dr Emiliano Rustighi, Dr Timothy Waters. Obroniona 20.11.2014.
- Witold Rządkowski "Badanie stanu odkształceń materiałów kompozytowych z zastosowaniem czujników piezoelektrycznych". Przewód doktorski otwarty w listopadzie 2012.

Prace magisterskie

- Tomasz Bońkowski "Badanie eksperymentalne właściwości mechanicznych i elektrycznych czujników MFC". Praca magisterska obroniona.

Wnioski i zgłoszenia patentowe

- wniosek nr P.409809 - Sposób wytwarzania czujnika piezoelektrycznego i czujnik piezoelektryczny

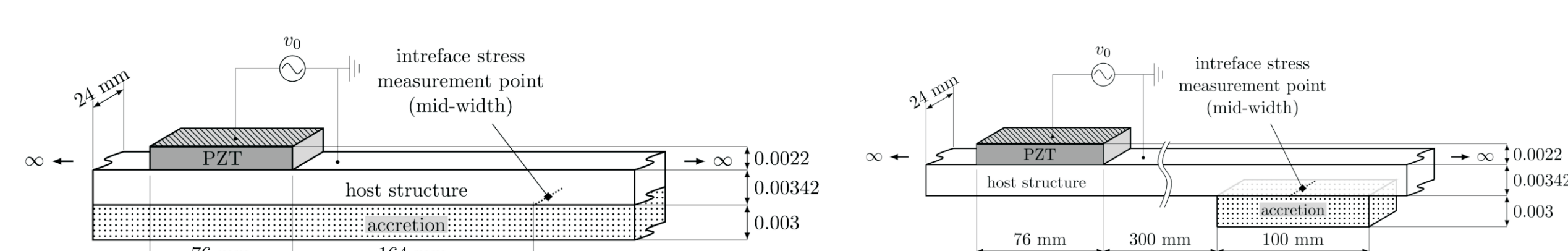
Wyniki badań Results

Analiza możliwości wykorzystania fal ultradźwiękowych do usuwania niepożądanych warstw osadzających się na strukturze (np. oblodzenie)

The general research aim is to investigate the feasibility of the ultrasonic de-icing

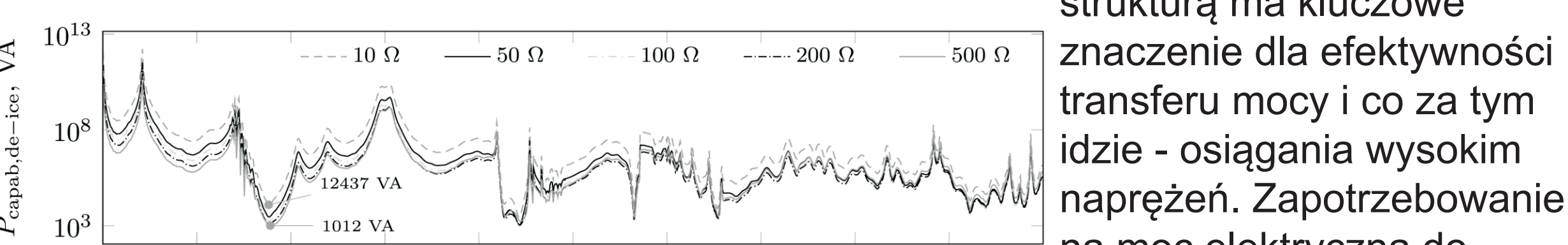
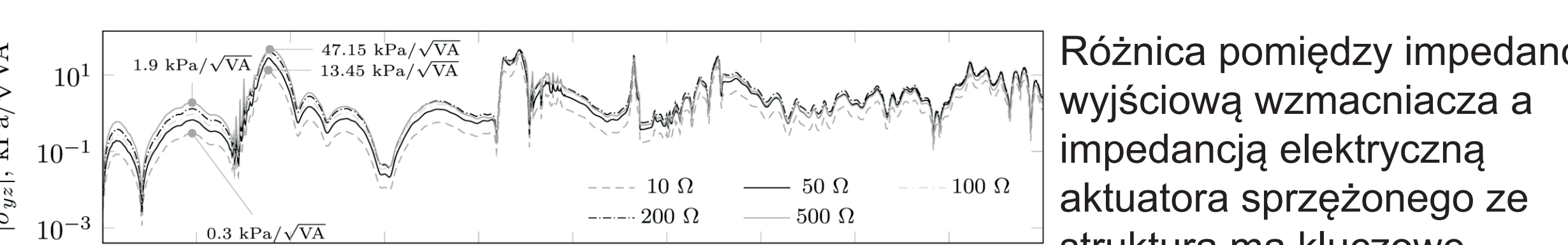
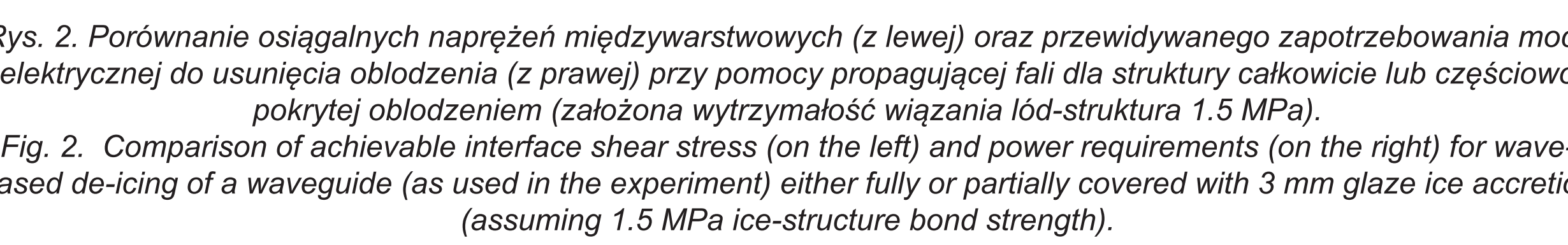
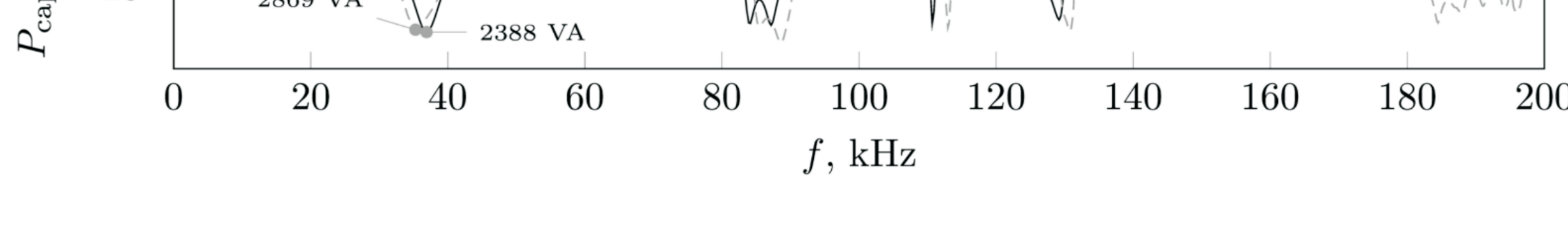
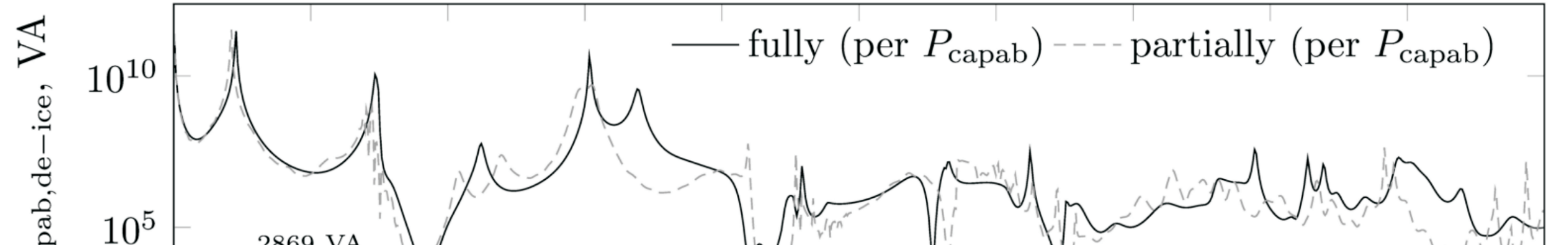
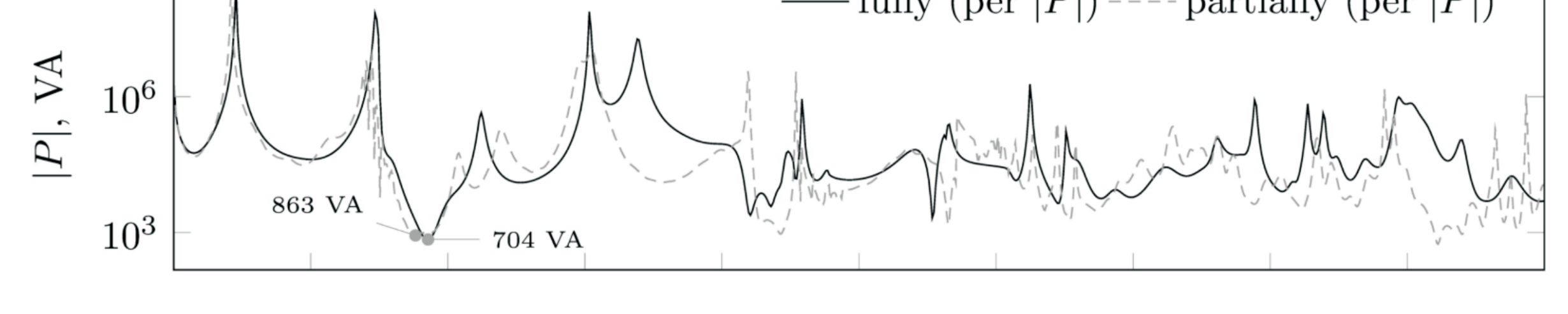
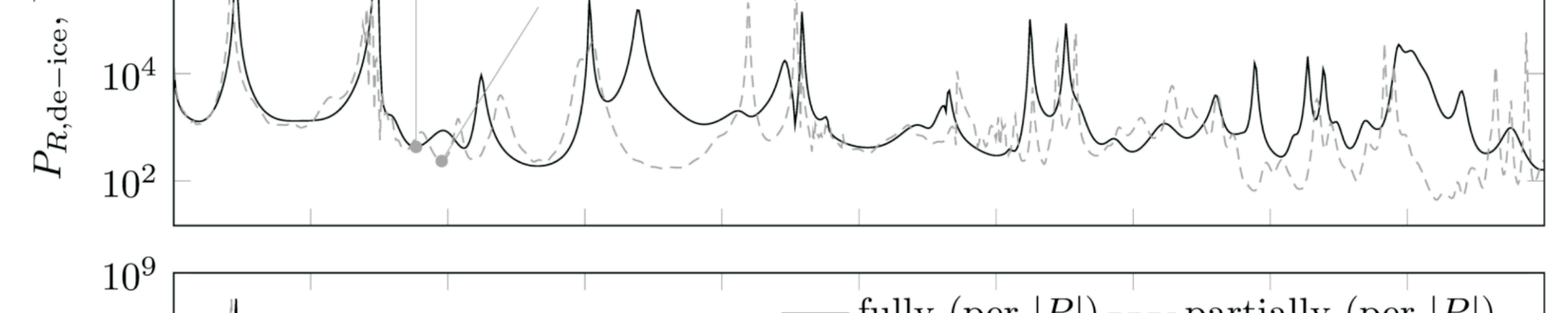
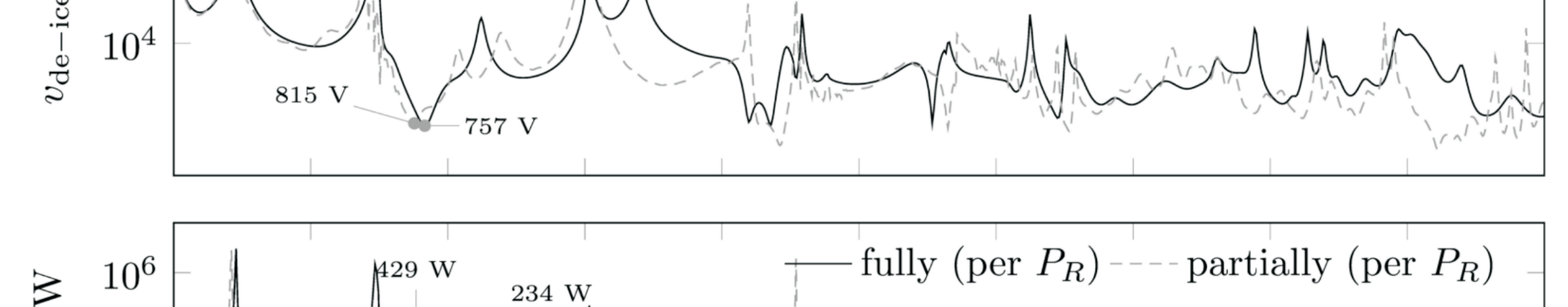
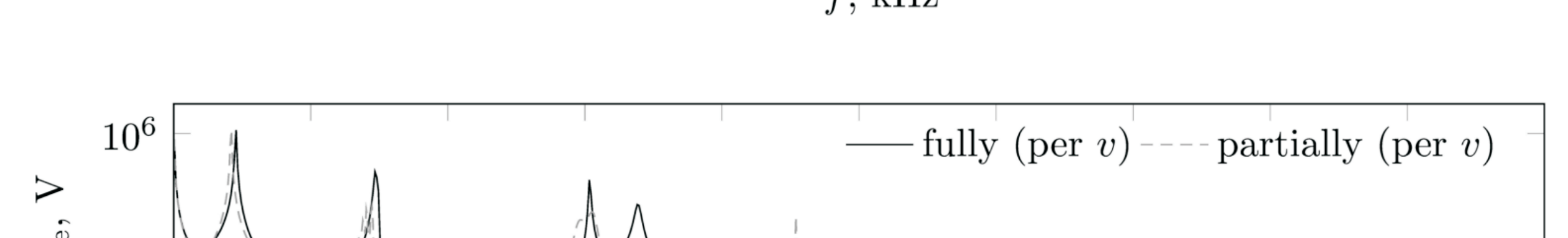
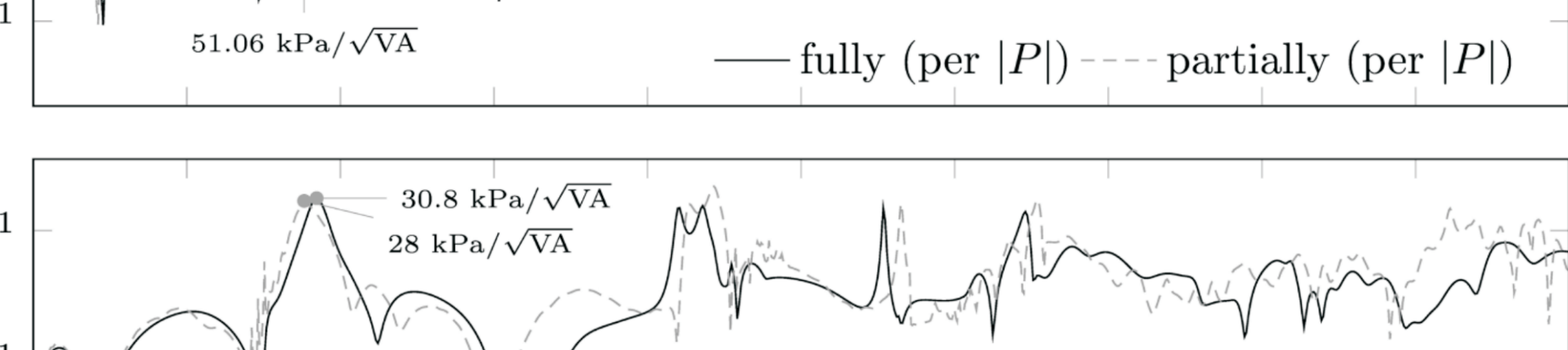
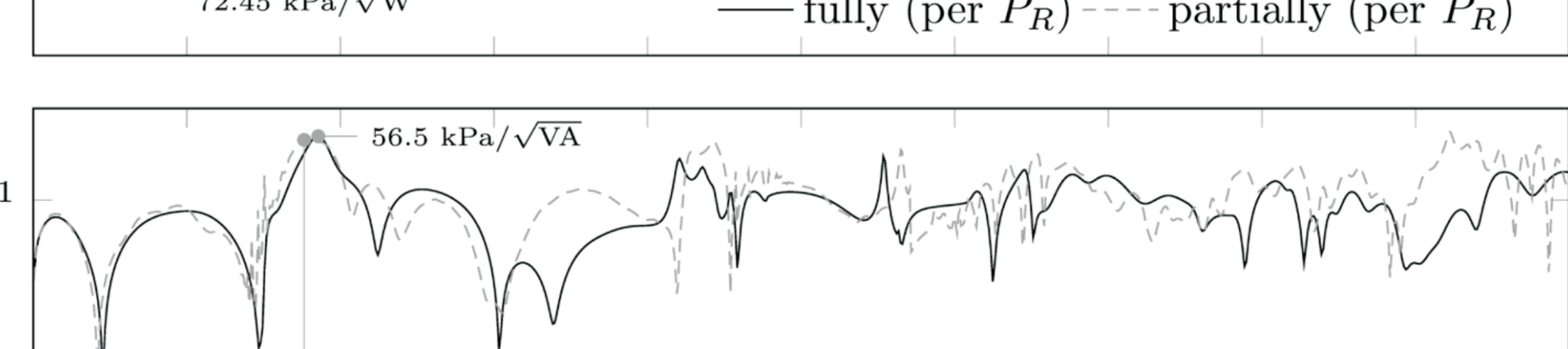
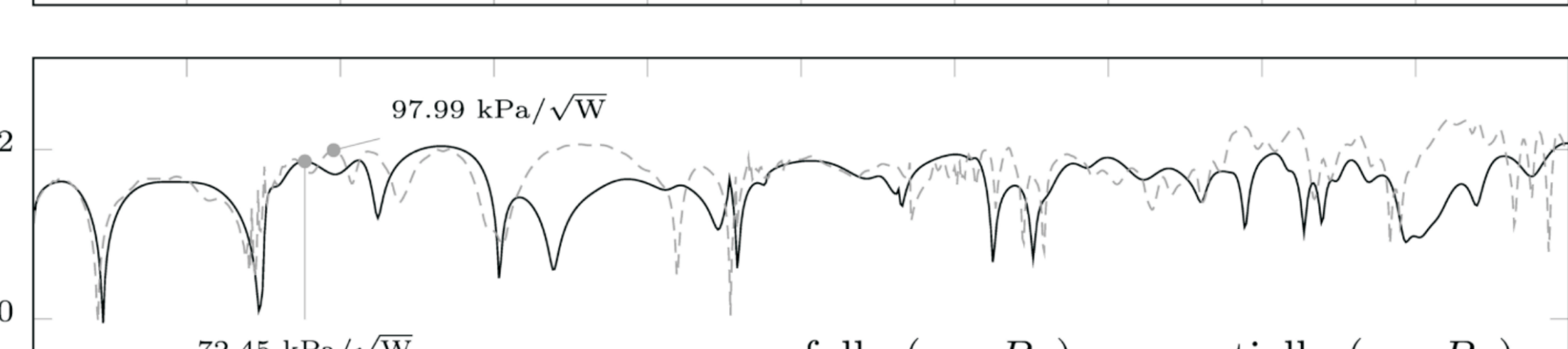
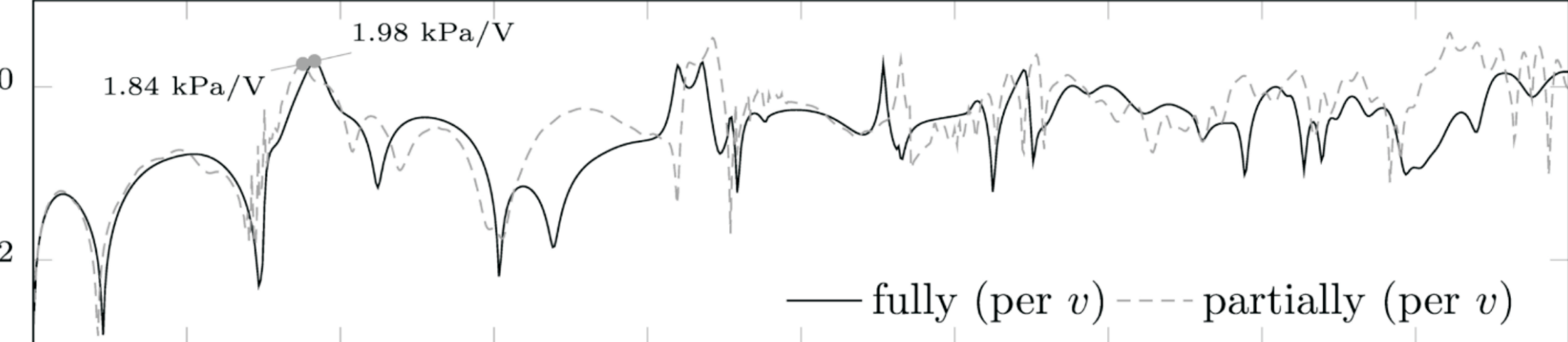
1. Analiza wpływu rozległości warstwy nadbudowanej na naprężenia międzywarstwowe generowane przy pomocy fal strukturalnych

The influence of the area of the accretion on the interface shear stress associated with piezo-actuated structural waves



Rys. 1. Structural configuration for simulations of interface shear stress in a beam-like waveguide fully and partially covered with glaze ice accretion

Fig. 1. Structural configuration for simulations of interface shear stress in a beam-like waveguide fully and partially covered with glaze ice accretion

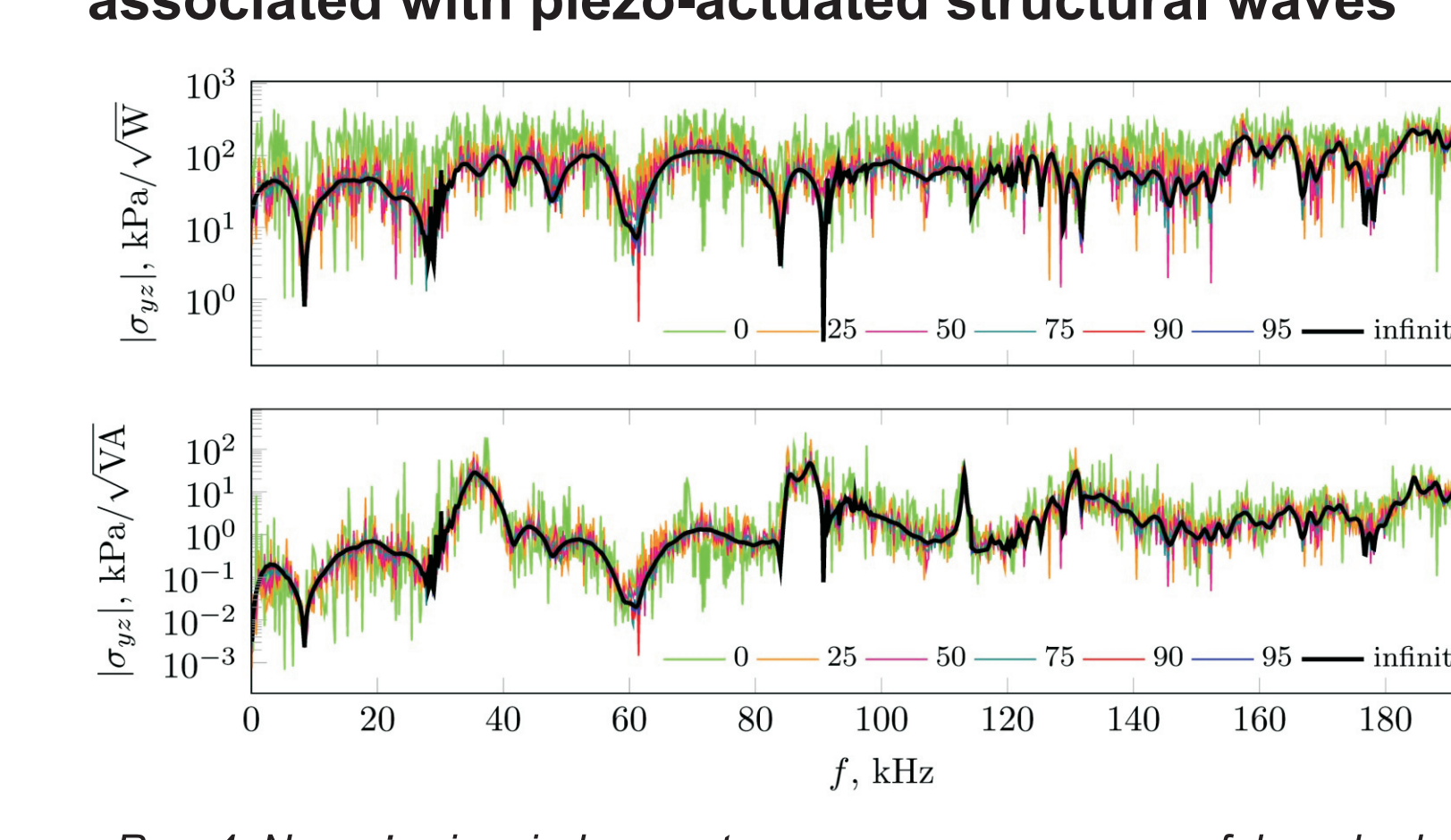


Rys. 3. Wpływ impedancji wyjściowej wzmacniacza na naprężenia międzywarstwowe osiągane w strukturze belkowej częściowo pokrytej 3 mm oblodzeniem szklistym oraz moc wzmacniacza wymagana dla skutecznego odzdujenia

Fig. 3. The influence of the driving source output impedance on the generated interface shear stress in a beam-like waveguide partially covered with 3 mm glaze ice accretion and required driving source power capability for de-icing

2. Analiza wpływu warunków brzegowych na naprężenia międzywarstwowe generowane przy pomocy fal strukturalnych

The influence of the absorption at the boundaries on the interface shear stress associated with piezo-actuated structural waves



Rys. 4. Naprężenia międzywarstwowe generowane przez fale wzbudzane aktemorem PZT w strukturze z warunkami brzegowymi o równym współczynniku absorbpcji

Fig. 4. PZT induced interface shear stress in a waveguide with artificial boundary conditions; the values for the absorption coefficient are denoted in the legend.

absorption at the ends	infinite (100%)	95%	90%	75%	50%	25%	c	0%
$\sigma_{yz}/\sqrt{P_R}$ in kPa/ $\sqrt{\text{VA}}$	96.7	102.8	124.4	163.2	198.8	500.7		
$\sigma_{yz}/\sqrt{P_{capab}}$ in kPa/ $\sqrt{\text{VA}}$	28.3	30.4</td						